

## II-392 複数円柱に作用する合成波力に関する実験

琉球大学工学部  
日本テトラポットKK  
大日本土木KK

正員  
学生員  
学生員

河野二夫  
長田紀晃  
王城讓

### 1)はじめに

直立円柱に作用する波力に関する研究は従来より多くなされている。しかし、その大半の研究内容は抗力係数や質量係数の性質を明らかにすることが主な目的とされている。

本実験は進行波の中に置いた直立円柱に作用する波力そのものに注目し、抗力と質量力の関係、および合成波力とその成分波力の関係を明らかにしたものである。

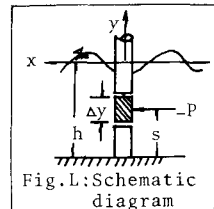


Fig. 1: Schematic diagram

### 2) 実験内容の概要

二次元造波水路(長さ20m、幅0.8m、高さ1m)の中央に図1に示す波力測定用円柱を固定し、図2、3に示す様に別々の

Model (1)				Model (2)			
D/h	S/h	Rh	H/L	D/h	D/h	S/h	Rh
0~0.91	0.553	0.47	0.01	0	0.71	0.44	0.007
		~4.47	~0.115	~0.91	~0.742	~8.05	~0.13

円柱と波の進行方向と直角方向に配列した時の円柱に作用する波力と測定した。図1で△y=5cmの波力受圧部は上部円柱の下端に磷青銅板ばねで固定し、その変位を直角増幅器でビデオラボに記録した。実験の諸元を表1に示した。表の中のD(直径)は5cm、R、H、Lはそれぞれ波数、波高、波長を示す。

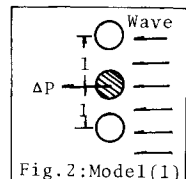


Fig. 2: Model (1)

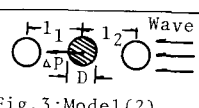


Fig. 3: Model (2)

### 3) 解析と実験結果および考察

合成波力(実測波力)を△P、抗力係数をCD、質量係数をCMとし、運動としてStokes波の第2近似解 $\theta = \pi/4$ を考えると、CDとCMは波の各振幅( $\theta = Rz$ のとき)によって次式で求められる。

$$CD_1 = \frac{2 \cdot \Delta P(\theta = 0)}{\rho \cdot D(U_1 + U_2)^2 \Delta y}, \quad PP_1 = \frac{T(U_1 + U_2)}{D} \quad (1)$$

$$CD_2 = \frac{2 \cdot \Delta P(\theta = \pi)}{\rho \cdot D(U_1 - U_2)^2 \Delta y}, \quad PP_2 = \frac{T(U_1 - U_2)}{D} \quad (2)$$

$$CD_3 = \frac{\Delta P(\theta = 7\pi/4) - \Delta P(\theta = \pi/4)}{\rho \cdot D \cdot U_1^2 \cdot \Delta y}, \quad \left. \begin{aligned} PP_3 &= \frac{T U_1}{D} \\ CM &= \frac{2\{\Delta P(\theta = 7\pi/4) + \Delta P(\theta = \pi/4)\}}{\rho \pi D^2 (\dot{U}_2 + \sqrt{\frac{1}{2}} \dot{U}_1) \Delta y} \end{aligned} \right\} \quad (3)$$

以上の式で、 $\rho$ は水の密度、 $U_1$ 、 $U_2$ および $\dot{U}_1$ 、 $\dot{U}_2$ はStokes波の第1次と第2次の近似値に対する水粒子速度や加速度の振幅である。PPはPeriod・Parameterであり、KC数を示すと考えてよい。以上の関係に対する実験値を図4.1～4.2に示した。図によると、2本の円柱を接近させた場合の抗力係数は1本の円柱の場合と異なっている。とくに、Model (1)の場合の接

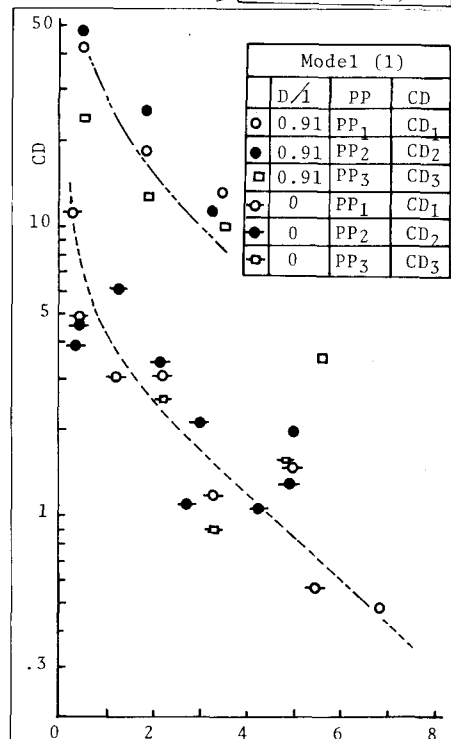


Fig. 4.1: Relationship between Drag Coefficients and Period parameters with (D/h)

近効果は大きい。

なお、図中の鎖線は便宜的に平均値と思われるものと示したものである。

次に、抗力と質量力および合成波力との関係を考察してみる。微小振幅波理論によると、次式が得られる。(河野:海岸水理学、森北出版、P256)

$$\frac{|\Delta P_D|}{|\Delta P_M|} = \frac{8}{3\pi^3} \cdot \frac{CD}{CM} \cdot PP \quad (4)$$

上式で左辺は抗力と質量力の振幅比を示す。

$\Delta P$  は Fourier 級数の助けとかりで次式による。

$$\Delta P = \frac{1}{2} \frac{\rho \pi^3 D^2 H}{T^2} \frac{\cosh k(h+y)}{\sinh kh} \cdot CM \sqrt{1 + \left(\frac{|\Delta P_D|}{|\Delta P_M|}\right)^2} \cdot \cos(\theta + \gamma) \cdot \Delta y \quad (5)$$

$$\tan \gamma = \frac{3\pi^2}{8} \frac{CM}{CD} \frac{D}{H} \frac{\sinh kh}{\cosh kh} = \frac{3\pi^3}{8} \frac{CM}{CD} \frac{1}{PP} \quad (6)$$

上式で、 $\gamma$  は波形と合成波力の Phase shift (rad) を示すもので  $\gamma > 0$  のときは Phase lag を示すが、本実験では Model, 2 に付し  $\gamma > 0$  の場合が支配的であった。さて、 $\Delta P$  の値は式(4)の関係が明らかになれば求められる。これらに關し、実験値を整理したものか、図 4.3 ~ 4.5 である。

図 4.3 と 4.4 では  $CD/CM$  の値は円柱接近の効果が見られないか、 $PP$  によって整理できると考えられる。図 4.5 は式(4)から計算した値と実線で示してあるので原理的には実線と各実験の Plot は一致すべきものと思われる。

図 4.5 と式(5)を考慮すると  $\Delta P$  はこの実験条件の範囲内ではほぼ質量力によって支配されることかわかる。

謝辞: この研究を行なうにあたり、文部省から下記の科学研修費(研究代表者 東京大学 元良誠三教授)による補助を受けた。ここに記して謝意を表する。

文部省科学研修費補助金特定研究(I)「海洋生物過程」(課題番号 511903)

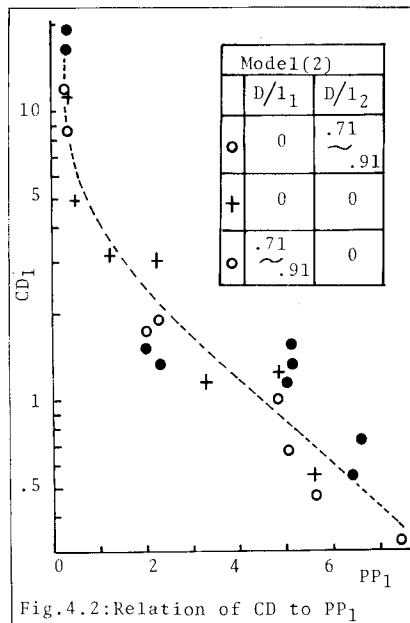


Fig. 4.2: Relation of CD to PP<sub>1</sub>

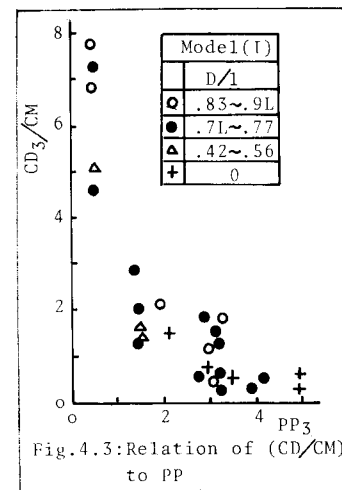


Fig. 4.3: Relation of (CD/CM) to PP<sub>3</sub>

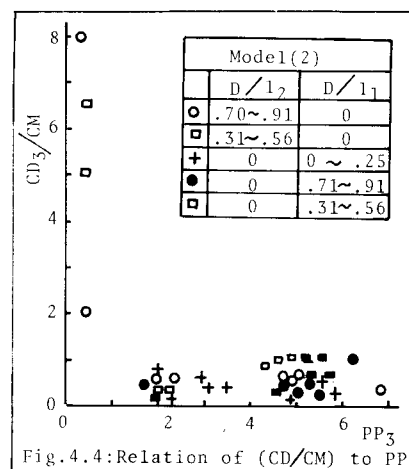


Fig. 4.4: Relation of (CD/CM) to PP<sub>3</sub>

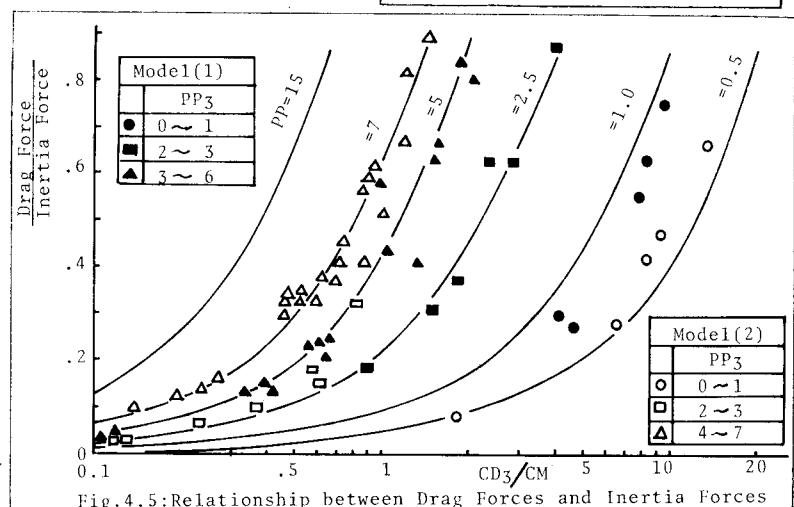


Fig. 4.5: Relationship between Drag Forces and Inertia Forces